

# ОЦЕНКА УПРАВЛЯЮЩИХ ДОЗОВЫХ ВОЗДЕЙСТВИЙ ПРОТИВООПУХОЛЕВОЙ ВАКЦИНОТЕРАПИИ С ПОМОЩЬЮ МАТЕМАТИЧЕСКОГО МОДЕЛИРОВАНИЯ

Н.А. Бабушкина

Представлена математическая модель противоопухолевой вакцинотерапии с использованием вируса. Модель описывает двухэтапный механизм гибели опухолевых клеток, вызванный реакцией иммунной системы против вируса, и последующую их гибель в результате развития иммунной реакции против погибших инфицированных опухолевых клеток. Получена оценка параметров модели и выполнена проверка ее адекватности с учетом экспериментальных кинетических кривых роста. Предложен подход, позволяющий получить оценки управляющих дозовых воздействий на основе построенной модели.

**Ключевые слова:** математическая модель, опухолевые клетки, управляющее дозовое воздействие, иммунная реакция, вирус, вакцинотерапия.

## ВВЕДЕНИЕ

Интерес к проблеме противоопухолевого действия вирусов связан с развитием исследований по иммунотерапии опухолей [1–6]. Проводимые исследования представляют значительный теоретический и практический интерес в связи с широкой распространенностью онкологических заболеваний. Начиная с середины XX в., усилия ученых были направлены на поиск вирусов, которые были бы неопасными для человека, но в то же время были эффективны в борьбе со злокачественными опухолями. Отбор и изучение различных вирусов был первым этапом на пути разработки иммунологических методов лечения рака. Одним из вирусов, обладающим высокой эффективностью по отношению к ряду экспериментальных опухолей, признан вирус венесуэльского энцефаломиелиита лошадей (ВЭЛ), который был подробно изучен в ряде диссертационных работ [1–3]. Эффективность взаимодействия вируса ВЭЛ с опухолевыми клетками примерно в 1000 раз выше, чем с нормальными здоровыми тканями организма, что сви-

детельствует практически об отсутствии токсического влияния вируса на организм. Отсутствие токсических эффектов при иммунотерапии представляет собой значительное преимущество данного метода лечения по сравнению с химиотерапией.

Противоопухолевое действие таких вирусов заключается в том, что вирус может распознавать злокачественные клетки, адсорбируясь на их поверхности и проникая внутрь, что приводит к разрушению и последующей гибели опухолевой клетки. Было показано, что погибающие в результате заражения вирусом злокачественные клетки способны в свою очередь вызывать активацию иммунной системы организма для выработки антител, специфичных данной опухоли. Таким образом, при вакцинотерапии вирус выступает в роли специфического маркера опухолевых клеток, позволяя преодолевать невосприимчивость иммунной системы организма к своим опухолевым клеткам.

Применение метода вакцинотерапии в экспериментальных и клинических исследованиях требует оценки эффективности вводимых доз вируса. Отсутствие явно выраженной токсичности позво-



ляет значительно расширить диапазон применяемых доз. Это влечет за собой увеличение объема экспериментальных исследований и значительное удорожание исследовательских работ. Проведение компьютерных экспериментов с помощью математической модели вакцинотерапии позволяет выявить эффективные дозы вируса, рассчитать оптимальные режимы их введения для получения полной регрессии опухоли и тем самым сократить время проведения экспериментальных исследований и значительно снизить их стоимость.

Первый этап на этом пути состоит в разработке адекватной математической модели, описывающей механизм гибели опухолевых клеток под действием вируса. При построении математической модели были использованы результаты экспериментальных исследований, полученных в указанных диссертационных работах. В качестве вакцинного препарата был рассмотрен вирус ВЭЛ, обладающий высокой чувствительностью к экспериментальной опухоли мышей аденокарциноме Эрлиха. Оценка параметров модели, описывающей развитие иммунного ответа на введение вакцины вируса ВЭЛ, и проверка ее адекватности проводилась с использованием кинетических кривых роста экспериментальной опухоли Эрлиха.

## 1. МЕХАНИЗМЫ ПРОТИВООПУХОЛЕВОЙ АКТИВНОСТИ ВИРУСНЫХ ВАКЦИН

Обобщая результаты исследований [1–3], можно сделать вывод о том, что первой причиной гибели опухолевых клеток является прямое проникновение вируса в опухолевую клетку при ее заражении. Гибель зараженных клеток под действием вируса происходит медленно, однако количество зараженных клеток способствует увеличению численности вируса благодаря его активному размножению в зараженных опухолевых клетках.

Введение в организм чужеродного вируса вызывает активацию иммунной системы организма, в результате образуются антитела, специфичные данному вирусу. Под действием образованных антител гибнут как вирусы, так и зараженные ими опухолевые клетки, что приводит к быстрому уменьшению численности обеих популяций.

Погибшие зараженные опухолевые клетки являются чужеродными для организма, что вызывает повторную активацию иммунной системы на их появление. В результате образуются антитела, специфичные опухолевым клеткам и вызывающие их гибель уже без участия вирусов. Таким образом, существует два последовательных этапа активации иммунной реакции организма на введение вирус-

ной вакцины. Первый этап связан с появлением вируса, а второй этап связан с появлением погибших опухолевых клеток, зараженных этим вирусом.

Задача, поставленная в данной работе, состоит в разработке математической модели механизма действия введенного вируса на гибель опухолевых клеток.

Эффект от примененной дозы вируса определяется силой и длительностью иммунной реакции, как первичной, так и вторичной. Сила иммунной реакции определяется численностью образовавшихся антител, а длительность их пребывания в организме зависит от момента начала образования антител до их полного исчезновения из организма. Значения этих параметров должны быть количественно определены в модели и описаны соответствующими уравнениями. Тогда математическая модель рассматривается как объект управления численностью опухолевых клеток. Оптимальный подбор управляющих воздействий должен приводить к полному исчезновению опухолевых клеток или к длительному периоду задержки возобновления ее роста. В качестве управляющих воздействий рассматриваются доза вируса, число (кратность) воздействий и моменты повторных введений вируса.

## 2. МАТЕМАТИЧЕСКАЯ МОДЕЛЬ ПРОТИВООПУХОЛЕВОЙ ТЕРАПИИ ВАКЦИНОЙ ВИРУСА ВЭЛ

Процесс роста опухолевых клеток без лечения (контроль) описывается простым дифференциальным уравнением [7–10]:

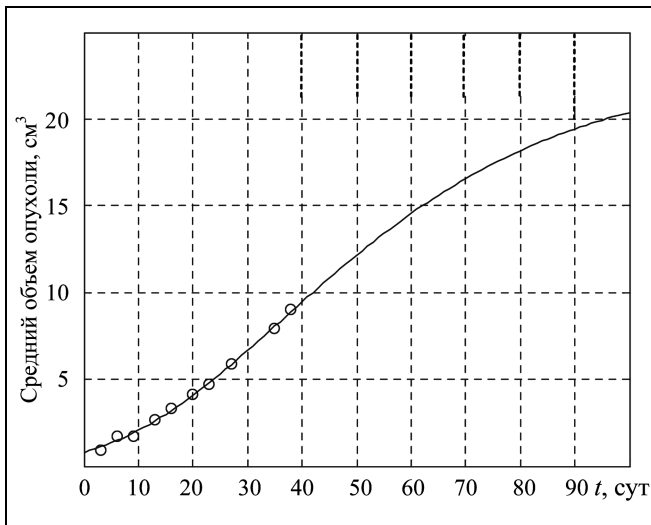
$$dN(t)/dt = \lambda(t)N(t), \quad (1)$$

где  $N(t)$  — численность опухолевых клеток,  $t$  — время,  $\lambda(t)$  — параметр, характеризующий скорость роста опухолевых клеток.

Функция  $\lambda(t)$  определялась по экспериментальным кривым изменения объема аденокарциномы Эрлиха методом регрессионного анализа в системе MatLab (рис. 1). Отметим, что объем опухоли связан с численностью опухолевых клеток в данном объеме через параметр плотности опухоли, который является величиной постоянной.

Было определено, что экспериментальная кривая роста опухоли без лечения наиболее точно описывается функцией Гомпертца, которая является решением уравнения (1) при  $\lambda(t) = \alpha_N \beta_N \exp(-\beta_N t)$ , и имеет вид:

$$\begin{aligned} N(t) &= N_\infty \exp(-\alpha_N \exp(-\beta_N t)) = \\ &= N_0 \exp(\alpha_N (1 - \beta_N \exp(-\beta_N t))), \end{aligned}$$



**Рис. 1.** Экспериментальные кривые роста аденокарциномы Эрлиха в контроле:  $\circ$  — экспериментальные данные в контроле; — — расчетная кривая в контроле

где  $N_\infty = N_0 \exp(\alpha_N)$  — максимальный размер опухоли при  $t \rightarrow \infty$ ,  $N_0$  — начальное количество опухолевых клеток в момент  $t = 0$ .

Расчетные значения параметров функции Гомпертца, описывающей рост опухоли без лечения, равны  $\alpha_N = 3,3613$ ,  $\beta_N = 0,0332$ ,  $N_\infty = 23$  и  $N_0 = 0,79$  при минимальном значении суммы квадратов отклонений 0,21.

Анализ экспериментальных данных о росте опухоли после введения вирусной вакцины (см. далее нижнюю кривую на рис. 4) позволяет выделить два периода интенсивной гибели опухолевых клеток. Первый период продолжается с 6 по 8 сутки, а второй — с 13 по 16 сутки. Учитывая ранее сказанное о двух механизмах гибели опухолевых клеток, можно считать, что первый этап связан с реакцией иммунной системы на вирус и образованием антител, специфичных данному вирусу. А второй этап связан с появлением погибших опухолевых клеток, зараженных вирусом, и образованием антител, специфичных данным опухолевым клеткам.

Уравнение динамики гибели опухолевых клеток в результате действия вируса  $V(t)$  и специфичных ему антител  $A_V(t)$  можно записать в виде

$$dN(t)/dt = [\lambda(t) - K_{AV} A_V(t) - K_V V(t)]N(t), \quad (2)$$

где  $\lambda(t) = \alpha_N \beta_N \exp(-\beta_N t)$  — скорость роста опухолевых клеток без лечения;  $A_V(t)$  — численность антител, специфичных вирусу;  $V(t)$  — численность вирусов;  $K_{AV}$  и  $K_V$  — размерные коэффициенты.

Согласно базовой математической модели инфекционного заболевания, разработанной под руководством Г.И. Марчука [11–14], иммунный ответ организма на введение вируса описывается следующими дифференциальными уравнениями.

- Уравнение изменения численности вирусов  $V(t)$ :

$$dV(t)/dt = \alpha_V V(t) - \beta_V A_V(t) V(t), \quad (3)$$

где  $\alpha_V$  — скорость размножения вирусов,  $\beta_V$  — скорость гибели антител и вирусов при их взаимодействии,  $V(t_1) = V_0(t)$  — начальная доза вируса ВЭЛ,  $t_1 = 1$  сут — момент введения вирусной вакцины.

- Уравнение изменения численности плазматических клеток  $C_V(t)$ :

$$dC_V(t)/dt = \alpha_C V(t) A_V(t) \theta(t - Z_{CV}) - \beta_{CV} [C_V(t) - C_{VN}], \quad (4)$$

где  $\alpha_C$  — скорость образования плазматических клеток,  $\beta_{CV}$  — размерный коэффициент,  $\theta(t - Z_{CV})$  — функция Хевисайда,  $Z_{CV}$  — задержка во времени на образование клона плазматических клеток. Второй член в правой части этого уравнения описывает поддержание исходной численности плазматических клеток в организме  $C_{VN}$ .

- Уравнение изменения численности антител, специфичных данному вирусу  $A_V(t)$ :

$$dA_V(t)/dt = \alpha_A C_V(t) \theta(t - Z_{CV}) - \beta_V A_V(t) V(t) - \beta_A A_V(t), \quad (5)$$

где  $\alpha_A$  — скорость образования антител из одной плазматической клетки,  $\beta_V$  — скорость убыли антител из-за взаимодействия с вирусами,  $\beta_A$  — скорость уменьшения количества антител из-за естественного разрушения.

- Уравнение динамики гибели опухолевых клеток  $N(t)$  в результате действия антител, специфичных данной опухоли  $A_N(t)$ , а также еще оставшихся в организме антител, специфичных вирусу  $A_V(t)$ :

$$dN(t)/dt = [\lambda(t) - K_{AV} A_V(t) - K_{AN} A_N(t)]N(t), \quad (6)$$

где  $K_{AV}$  и  $K_{AN}$  — размерные коэффициенты.

- Уравнения изменения численности антител  $A_N(t)$  и плазматических клеток  $C_N(t)$ , специфичных опухолевым клеткам [8, 10, 11]:

$$dA_N(t)/dt = \alpha_{AN} C_{AN}(t) \theta(t - Z_{CN}) - \beta_{AN} A_N(t) N(t) - \beta_{NN} A_N(t), \quad (7)$$



где  $\alpha_{AN}$  — скорость образования антител из одной плазматической клетки,  $\beta_{AN}$  — скорость убыли антител из-за взаимодействия с опухолевыми клетками,  $\beta_{NN}$  — скорость уменьшения количества антител из-за естественного разрушения,

$$dC_{AN}(t)/dt = \alpha_{CN}N(t)A_N(t)\theta(t - Z_{CN}) - \beta_{CN}[C_{AN}(t) - C_{NN}], \quad (8)$$

где  $\alpha_{CN}$  — скорость образования плазматических клеток,  $\beta_{CN}$  — размерный коэффициент,  $Z_{CN}$  — задержка во времени на образование клона плазматических клеток на погибшие опухолевые клетки, зараженные вирусом.

- Уравнение роста опухоли после окончания действия иммунной защиты и снижения численности антител  $A_V(t)$  и  $A_N(t)$  до незначительного уровня:

$$dN(t)/dt = \lambda(t - Z_N)N(t - Z_N), \quad (10)$$

где  $Z_N$  — момент возобновления роста опухоли оставшимися в живых опухолевыми клетками.

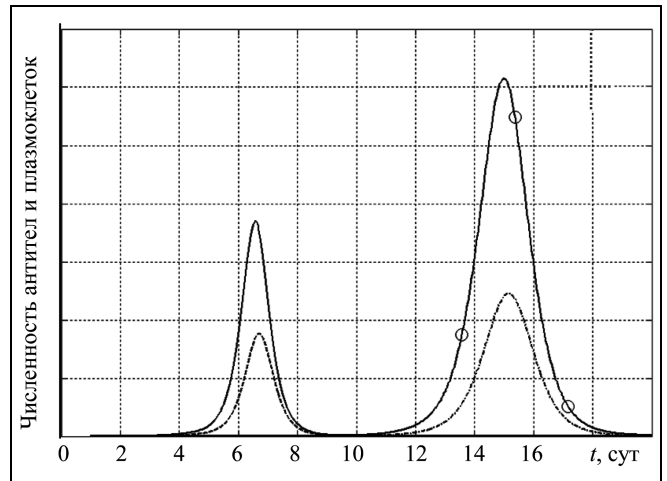
Таким образом, математическую модель, описывающую рост опухоли до и после введения вируса, в которой отражено действие двух механизмов гибели опухолевых клеток, можно записать в виде:

$$dN(t)/dt = \lambda(t)N(t)\theta(t_{V1} - t) + [\lambda(t) - K_{AV}A_V(t) - K_VV(t)]N(t)\theta(t - Z_{CV}) + [\lambda(t) - K_{AN}A_N(t) - K_{AV}A_V(t)]N(t)\theta(t - Z_{CN}) + \lambda(t - Z_N)N(t - Z_N)\theta(t - Z_N), \quad (11)$$

где  $t_{V1}$  — момент введения вирусной вакцины,  $Z_{CV}$  — момент начала иммунного ответа против вирусов,  $Z_{CN}$  — момент начала иммунного ответа против погибших опухолевых клеток, зараженных вирусом,  $Z_N$  — момент возобновления роста оставшихся в живых клеток опухоли.

### 3. ОЦЕНКА ПАРАМЕТРОВ МАТЕМАТИЧЕСКОЙ МОДЕЛИ

Для адекватного описания экспериментальной кинетической кривой роста опухоли после введения вакцины вируса ВЭЛ применялся известный метод решения обратных задач динамики [15], согласно которому определялись параметры системы нелинейных уравнений модели (1)–(11). Для получения оценок значений параметров модели применялось компьютерное моделирование в системе MatLab с использованием приложения Simulink. Данный подход позволяет исследовать математи-



**Рис. 2. Расчетные кривые динамики развития иммунной реакции:** ---  $A_V(t)$  и —  $C_V(t)$  — численности антител и плазматических клеток против вируса ВЭЛ; -·-  $A_N(t)$  и —○—  $C_{AN}(t)$  — численности антител и плазматических клеток после вторичного иммунного ответа

ческую модель при различных начальных условиях по координатам и задании различных параметров управляющих воздействий как по уровню, так и по времени начала воздействий.

В качестве начального условия для оценки координаты  $N(t)$  принималось расчетное значение функции Гомпертца при  $N(0) = N_0 = 0,79$ , полученное из решения уравнения (1) при  $t = 0$ , соответствующее началу эксперимента.

Начальное значение по координате  $V(t)$  в момент введения вируса  $t_{V1} = 1$  сут и характер изменения  $V(t)$  определялись из уравнения (2). Согласно методу решения обратных задач динамики [7] уравнение (2) приводится к виду

$$V(t) = 1/K_V[\lambda(t) - K_{AV}A_V(0) - 1/N(t)dN(t)/dt], \quad (12)$$

где  $A_V(0)$  — начальное значение численности антител против вируса в момент начала иммунной реакции на введение вируса  $t_{V1}$ , которое близко к нулю и сохраняет постоянное значение на периоде образования клона плазматических клеток  $Z_{CV}$ .

Метод решения обратных задач применялся также для оценки параметров в уравнениях (4), (5), (7) и (8), описывающих иммунную реакцию и которые приводятся к виду, аналогичному выражению (12).

На рис. 2 представлены расчетные кривые динамики параметров иммунной системы организма при значениях параметров модели  $\alpha_V = 0,3$ ;  $\beta_V = 4,5$ ;  $\alpha_A = 5,8$ ;  $\beta_V = 70,5$ ;  $\beta_A = 10,2$ ;  $\alpha_C = 655,5$ ;

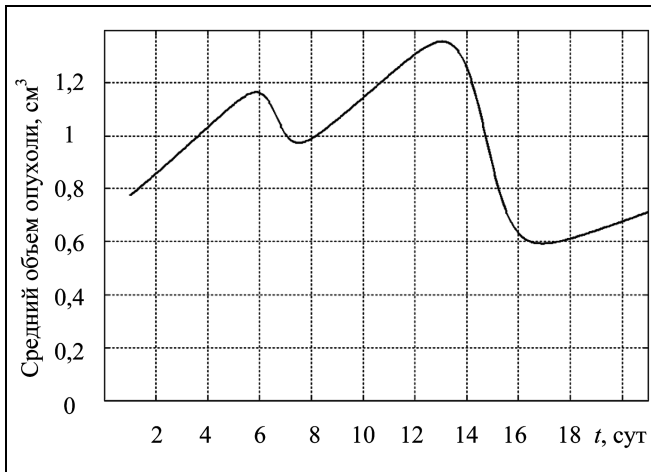


Рис. 3. Расчетные кривые динамики изменения объема опухоли после введения вирусной вакцины

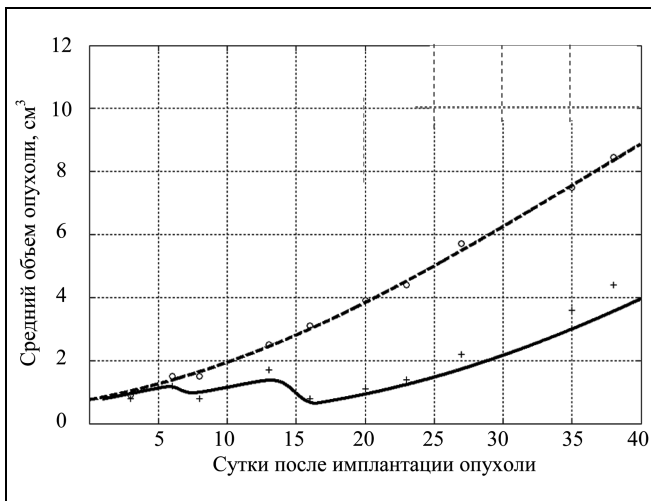


Рис. 4. Расчетные кривые, аппроксимирующие экспериментальные данные роста аденокарциномы Эрлиха: — — в контроле; - - - - после введения вирусной вакцины ВЭЛ; +, o — экспериментальные значения

$\beta_{CV} = 10,5$ ;  $K_{AV} = 0,8$ ;  $\alpha_{AN} = 5,7$ ;  $\beta_{AN} = 9$ ;  $\beta_{NN} = 5,2$ ;  
 $\alpha_{CN} = 2,6$ ;  $\beta_{CN} = 10$ ;  $K_{AN} = 1$  и начальных условиях  
 $I(0) = 0,015$ ;  $A_V(0) = 0,002$ ;  $C_V(0) = 0,001$ ;  $A_N(0) = 0$ ;  
 $C_N(0) = 0,35 \cdot 10^{-3}$ .

В соответствии с расчетными данными динамики развития иммунной реакции на введение вируса была рассчитана динамика изменения численности опухолевых клеток в результате их гибели при взаимодействии с антителами, специфичными введенному вирусу  $A_V(t)$  и опухолевым клеткам, зараженным данным вирусом  $A_N(t)$  (рис. 3).

Рост опухоли  $N(t)$  после окончания иммунной реакции и практического отсутствия антител  $A_N(t)$  по модельным расчетам происходит со скоростью, определенной параметрами функции Гомпертца в контроле с задержкой во времени на  $Z_N = 18$  сут согласно уравнению модели (10).

На рис. 4 приведены результаты аппроксимации экспериментальных данных роста опухоли без лечения и после введения вирусной вакцины расчетными кривыми согласно построенной математической модели (1)—(11). Как видно, расчетные кривые с достаточной степенью точности описывают экспериментальные данные, что свидетельствует об адекватности построенной математической модели.

## ЗАКЛЮЧЕНИЕ

Построенная математическая модель противоопухолевой вакцинотерапии представляет собой первую попытку описать механизм противоопухолевого действия вирусных вакцин на примере вируса ВЭЛ. Модель описывает двухэтапный механизм гибели опухолевых клеток, вызванный проникновением в нее вируса. Очевидно, что эффективность данного метода лечения злокачественных опухолей непосредственно зависит от способности иммунной системы быстро и в больших количествах образовывать антитела как против самих вирусов, так и против клеток опухоли. В практическом отсутствии токсичности заключается преимущество данного метода лечения по сравнению с химиотерапией. По результатам расчетов на модели можно сделать следующие выводы.

Построенная модель позволяет вычислять длительность задержки роста опухолевых клеток от момента введения вакцинного препарата до возобновления роста оставшихся в живых опухолевых клеток. Задержка роста опухоли служит критерием оценки эффективности применяемой дозы для любого метода противоопухолевой терапии и используется в данной математической модели иммунной терапии злокачественных опухолей.

Модель позволяет рассчитать максимально эффективную дозу вируса как при однократном введении, так и при многократных введениях вирусных вакцин, для которых можно достичь длительной и устойчивой регрессии опухоли. Расчет эффективных доз — первый и необходимый этап разработки оптимальных режимов управления лечением.

Построенная математическая модель, описывающая механизм гибели опухолевых клеток при вакцинотерапии, может рассматриваться как объ-



ект управления процессом лечения опухолевого заболевания путем введения управляющих дозовых воздействий, которыми могут быть дозы вируса, а также количество и частота его введений.

## ЛИТЕРАТУРА

1. Уразова Л.Н. Эффективность и механизмы противоопухолевого действия вирусных вакцин при экспериментальном онкогенезе: дис. ... д-ра биол. наук. — СПб., 2003. — 196 с.
2. Видяева И.Г. Вирусные вакцины и их онколизаты в терапии экспериментальных опухолей: дис. ... канд. мед. наук. — Томск, 2005. — 134 с.
3. Громова А.Ю. Противоопухолевые свойства вакцинного штамма вируса венесуэльского энцефаломиелимита и его онколизата: дис. ... канд. биол. наук. — СПб., 1999. — 114 с.
4. Lisette G. de Pillis, Ami E. Radunskaya, and Charles L. Wiseman. A Validated Mathematical Model of Cell-Mediated Immune Response to Tumor Growth // *Cancer Research*. — 2005. — N 65. — P. 7950—7958.
5. Palladini A., Nicoletti G., Pappalardo F., et al. In silico Modeling and In vivo Efficacy of Cancer-Preventive Vaccinations // *Cancer Research*. — 2010. — N 70. — P. 7755—7763.
6. Kogan Yu., Halevi-Tobias K., Elishmereni M., et al. Reconsidering the Paradigm of Cancer Immunotherapy by Computationally Aided Real-time Personalization // *Cancer Research*. — 2012. — N 72. — P. 2218—2227.
7. Бабушкина Н.А. Использование математического моделирования для оптимизации режимов химиотерапии на экспериментальных опухолях // IV Междун. конф. SICPRO—05 «Идентификация систем и задачи управления» / ИПУ РАН. — М., 2005.
8. Бабушкина Н.А., Островская Л.А., Рыкова В.А., Фомина М.М. Моделирование эффективности действия противоопухолевых препаратов в сверхмалых дозах для оптимизации режимов их введения // *Проблемы управления*. — 2005. — № 4. — С. 47—54.
9. Бабушкина Н.А., Островская Л.А., Рыкова В.А., Фомина М.М. Моделирование развития экспериментальных опухолей для сравнительной оценки действия противоопухолевых препаратов в терапевтической и сверхмалых дозах // *Системотехника*. — 2007. — № 5. — С. 11—17.
10. Бабушкина Н.А. Управление процессом химиотерапии с использованием ферромагнитных наночастиц // *Проблемы управления*. — 2011. — № 3. — С. 56—63.
11. Марчук Г.И. Математические модели в иммунологии. Вычислительные методы и эксперименты. — М.: Наука, 1991. — 304 с.
12. Ройт А., Бростофф Дж., Мейл Д. Иммунология. — М.: Мир, 2000. — 592 с.
13. Романюха А.А., Руднев С.Г. Математическое моделирование иммунно-воспалительных процессов в легких. Поиск оптимальности / Ред. В.П. Дымников. — М.: ИВМ РАН, 2000. — С. 212—233.
14. Романюха А.А. Математические модели в иммунологии и эпидемиологии инфекционных заболеваний. — М.: БИНОМ. Лаборатория знаний, 2011. — 293 с.
15. Крутько П.Д. Обратные задачи в теории автоматического управления. Цикл лекций: Уч. пособие для вузов. — М.: Машиностроение, 2004. — 576 с.

Статья представлена к публикации членом редколлегии В.Н. Новосельцевым.

**Бабушкина Нина Александровна** — канд. биол. наук, ст. науч. сотрудник, Институт проблем управления им. В.А. Трапезникова РАН, г. Москва, ☎ (495) 334-93-71, ✉ BabushKiNa\_Na@mail.ru.



## XII Всероссийское совещание по проблемам управления Москва, Институт проблем управления им. В.А. Трапезникова РАН, 16—19 июня 2014 г.

XII Всероссийское совещание по проблемам управления, посвященное 75-летию Института проблем управления (ИПУ) имени В.А. Трапезникова РАН, организуется ИПУ РАН при поддержке РФФИ, Отделения энергетики, машиностроения, механики и процессов управления РАН, Российского национального комитета по автоматическому управлению, Академии навигации и управления движением, Научного совета РАН по комплексным проблемам управления и автоматизации, Совета по мехатронике и робототехнике РАН.

### Основные направления работы Совещания

- Теория систем управления
- Управление подвижными объектами и навигация
- Интеллектуальные системы управления
- Управление в промышленности, транспорте и логистикой
- Управление системами междисциплинарной природы
- Средства измерения, вычислений и контроля в управлении
- Системный анализ и принятие решений в задачах управления
- Информационные технологии в управлении
- Проблемы образования в области управления: современное содержание и технологии обучения

**Подробная информация** о Совещании находится на сайте <http://vspu2014.ipu.ru>.

Срок окончательной подачи докладов через систему подачи докладов на сайте — **30 ноября 2013 г.**

**Контакты:** Иван Николаевич Барабанов, ученый секретарь Программного комитета,  
☎ (495) 335-23-53, ✉ ivbar@ipu.ru.